

Решение нестационарной задачи Навье-Стокса. Построение дорожки Кармана

Дмитрий Копытков

Декабрь 2024

Выпишем задачу Дирихле для нестационарного уравнения Навье-Стокса на гладкой области Ω , где $u = u(u_x, u_y)$:

$$\rho\left(\frac{\partial u}{\partial t} + (u \cdot \nabla)u\right) - \mu \Delta u + \nabla p = 0, \quad (1)$$

$$\nabla \cdot u = 0, \quad (2)$$

с начальными условиями:

$$u_x|_{\Gamma_{in}} = u_0 + \varepsilon_0 \cdot \sin(t) \cdot \sin(y/H), \quad u_y|_{\Gamma_{in}} = 0, \quad (3)$$

$$u_y|_{\Gamma_{out}} = 0, \quad p|_{\Gamma_{out}} = p_0, \quad \frac{du_x}{dt} = 0. \quad (4)$$

Для этой задачи возьмём ненулевую функцию ψ такую, что

$$\psi|_{\partial\Omega} = 0. \quad (5)$$

Для удобства запишем формулу интегрирования по частям для тензоров:

$$\int_{\Omega} \mathbf{v} \operatorname{div} \mathbf{A} \, dx \, dy = \int_{\partial\Omega} \mathbf{v} \cdot \mathbf{A} \langle \mathbf{n} \rangle \, ds - \int_{\Omega} \mathbf{A} : \nabla \mathbf{v} \, dx \, dy \quad (6)$$

Заметим, что:

$$\nabla p = \operatorname{div} pI, \quad pI : \nabla \psi = p \operatorname{div} \psi, \quad (7)$$

где I - единичный тензор. Таким образом, формулу (6) надо применить к тензору

$$\mathbf{A} = -\mu \nabla \mathbf{u} + pI \quad (8)$$

$$\begin{aligned} & \int_{\Omega} (-\mu \operatorname{div} \nabla \mathbf{u} + \nabla p) \cdot \psi \, dx \, dy \stackrel{(6)}{=} \int_{\Omega} \operatorname{div} (-\mu \nabla \mathbf{u} + pI) \cdot \psi \, dx \, dy \\ &= \int_{\Omega} (\mu \nabla \mathbf{u} : \nabla \psi - p \operatorname{div} \psi) \, dx \, dy - \int_{\Omega} \psi_n \left(\mu \frac{\partial(\mathbf{u} \cdot \mathbf{n})}{\partial \mathbf{n}} - p \right) + \psi_t \mu \frac{\partial(\mathbf{u} \cdot \mathbf{t})}{\partial \mathbf{n}} \, ds \\ & \stackrel{\text{Граничные условия}}{=} \int_{\Omega} \mu \nabla \mathbf{u} : \nabla \psi \, dx \, dy - \int_{\Omega} p \operatorname{div} \psi \, dx \, dy, \end{aligned} \quad (9)$$

где $\boldsymbol{\psi} \cdot \mathbf{n} = \psi_n$, $\boldsymbol{\psi} \cdot \mathbf{t} = \psi_t$, \mathbf{t} - касательный вектор. Итого:

$$\int_{\Omega} \rho \frac{\partial \mathbf{u}}{\partial t} dx dy + \int_{\Omega} \rho (\mathbf{u} \cdot \nabla) \mathbf{u} dx dy + \quad (10)$$

$$\int_{\Omega} \mu \nabla \mathbf{u} : \nabla \boldsymbol{\psi} dx dy - \int_{\Omega} p \operatorname{div} \boldsymbol{\psi} dx dy = 0,$$

$$\int_{\Omega} \varepsilon p q dx dy + \int_{\Omega} q \operatorname{div} \boldsymbol{\psi} dx dy = 0. \quad (11)$$

Для повышения устойчивости уравнение неразрывности было регуляризовано в виде:

$$\varepsilon p + \operatorname{div} \mathbf{u} = 0 \quad (12)$$

Область Ω , а также профиль скорости u_x разных итерациях, можно увидеть на рисунках:

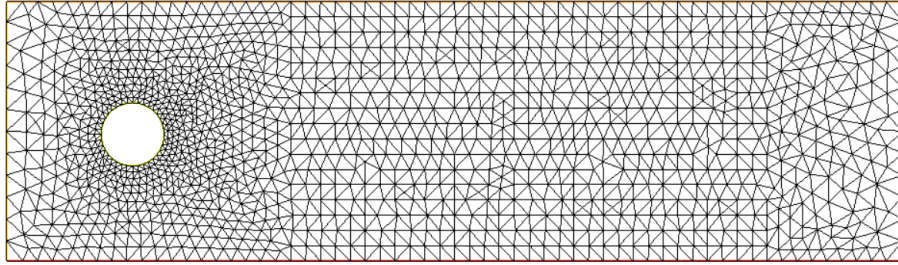


Рис.1: Область Ω с сеткой



Рис.2: Профиль скорости u_x при $iter = 0$



Рис.3: Профиль скорости u_x при $iter = 10$

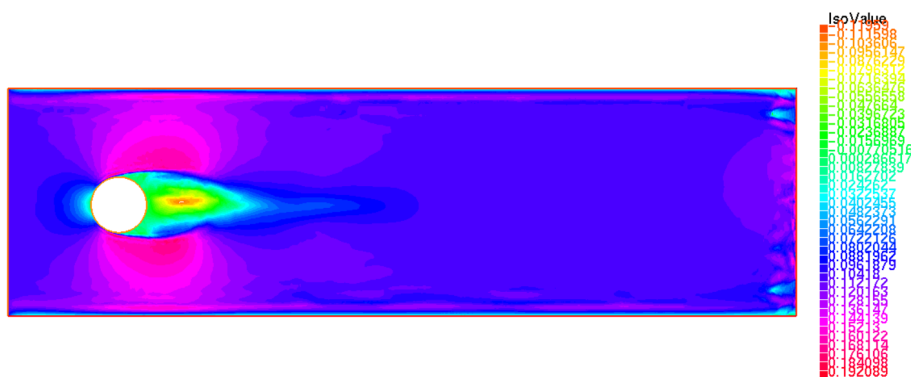


Рис.4: Профиль скорости u_x при $iter = 50$

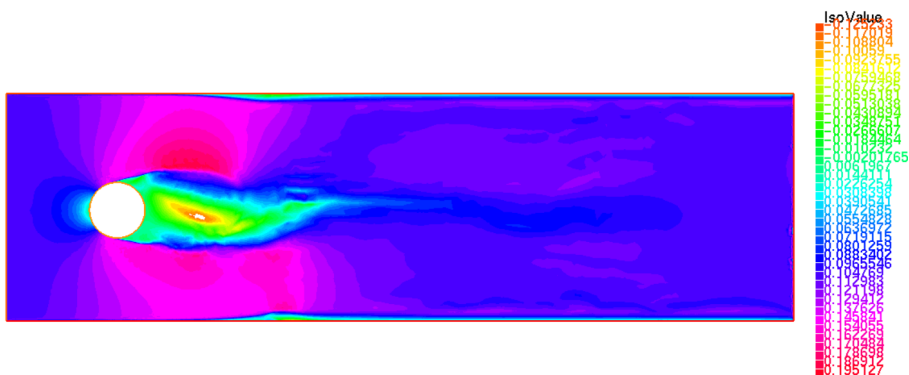


Рис.5: Профиль скорости u_x при $iter = 100$

Также, использовалась адаптация сетки при $iter = K$, где $K = \frac{\beta}{u_0 n}$, β выбран экспериментальным путём (в моём случае, $\beta = 60$).